

## ФОТОЭЛЕКТРИЧЕСКИЕ ХАРАКТЕРИСТИКИ МНОГОСЛОЙНЫХ $p^+ - i - n^+$ -СТРУКТУР GaAs-AlGaAs С КВАНТОВЫМИ ЯМАМИ

Поляков В. И., Перов П. И., Ермаков М. Г., Ермакова О. Н.,  
Мокеров В. Г., Медведев Б. К.

Измерены спектры фотоотклика  $V_\phi(\hbar\omega)$  многослойных с квантовыми ямами (MQW)  $p^+ - i - n^+$ -структур GaAs-Al<sub>0.3</sub>Ga<sub>0.7</sub>As в диапазоне энергий квантов ( $\hbar\omega$ ) возбуждающего света от 1.4 до  $\sim 2.2$  эВ при температурах  $\sim 300$  и  $\sim 80$  К. Определена удельная вольтовая чувствительность. Изучено влияние на спектры  $V_\phi(\hbar\omega)$  постоянного напряжения смещения. Обнаружено обращение экситонных пиков в спектрах фотоотклика и предложена модель данного физического процесса. Показана возможность использования зависимости  $V_\phi(\hbar\omega)$  для исследования энергетического спектра квазидвумерных экситонных состояний, определения толщины квантовых ям и планарной неоднородности внутреннего электрического поля в MQW  $p^+ - i - n^+$ -структурах. В вольт-амперных характеристиках, полученных при освещении структур, обнаружены области резкого изменения дифференциальной проводимости, а также динамической бистабильности, обусловленные резонансно-тунNELьной фотопропажей неравновесных носителей и наблюдаемые как при  $T \approx 80$  К, так и при комнатной температуре.

В настоящее время большие надежды в функциональной микро- и наноэлектронике связаны с использованием многослойных с квантовыми ямами (MQW) структур, обладающих рядом уникальных свойств [1, 2].

В данной работе сообщается о результатах исследования фотоэлектрических характеристик MQW  $p^+ - i - n^+$ -структур, содержащих в качестве  $i$ -слоя 50 чередующихся нелегированных слоев GaAs и Al<sub>0.3</sub>Ga<sub>0.7</sub>As толщиной  $\sim 100$  Å, выращенных методом молекулярно-лучевой эпитаксии на  $n^+$ -GaAs-подложках. Зонная энергетическая диаграмма и характерный набор слоев исследованных структур приведены на рис. 1. Для измерения фотоэлектрических характеристик к защитному слою  $p^+$ -GaAs и подложке изготавливались омические контакты. Освещение проводилось со стороны слоя  $p^+$ -GaAs. Регистрация малосигнальных спектров фотоотклика  $V_\phi(\hbar\omega)$  осуществлялась методом синхронного детектирования при  $|V_\phi| \ll kT/q$  ( $k$  — постоянная Больцмана,  $T$  — температура,  $q$  — заряд электрона) во всем исследованном спектральном диапазоне при частоте модуляции возбуждающего света  $\sim 60$  Гц. Форма импульса фотоотклика при данной частоте модуляции практически повторяла форму светового импульса. Разрешение при записи  $V_\phi(\hbar\omega)$  составляло  $\sim 10^{-3}$  эВ, и вид регистрируемого спектра не зависел от величины входного сопротивления измерительного прибора. Получены и исследованы зависимости фотонапряжения  $V_\phi = I_\phi R_n$  ( $I_\phi$  — фототок,  $R_n$  — сопротивление нагрузки) от напряжения смещения  $U_{cm}$  при фиксированных значениях квантов возбуждающего света  $\hbar\omega$ . На образцах с наименьшими темновыми токами утечки было исследовано влияние освещения на квазистатические и динамические вольт-амперные характеристики (ВАХ). Указанный на приводимых рисунках знак фотоотклика и подаваемого на структуру  $U_{cm}$  соответствует знаку потенциала на контакте к слою  $p^+$ -GaAs.

На рис. 2 приведены спектры фотоотклика  $V_\phi(\hbar\omega)$  MQW  $p^+ - i - n^+$ -гетероструктуры GaAs-Al<sub>0.3</sub>Ga<sub>0.7</sub>As при комнатной температуре (рис. 2, а) и при  $T=80$  К (рис. 2, б). Энергетическое положение пиков на кривых 1 (рис. 2) совпадает с энергиями экситонных переходов с дискретных уровней (подзон) валентной зоны  $H_1, L_1, H_2, L_2, H_3$  на уровнях  $C_1, C_2, C_3$  зоны проводимости в квантовых ямах  $i$ -слоя. Четко проявляется расщепление экситонного пика, обусловленное снятием вырождения с подзоны тяжелых ( $H_1$ ) и легких ( $L_1$ ) дырок. Наличие экситонных пиков в спектрах фотоотклика  $V_\phi(\hbar\omega)$  может быть обусловлено диссоциацией квазидвумерных экситонов в электрическом поле  $p^+ - i - n^+$ -структуре и образованием свободных фотоносителей на соответствующих подзонах в квантовых ямах. Определив энергетическое положение уровней из полу-

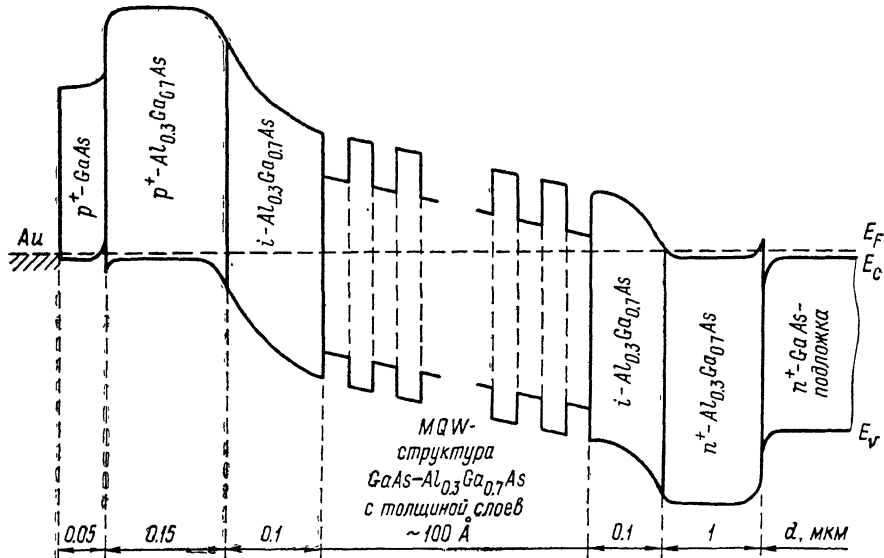


Рис. 1. Зонная энергетическая диаграмма исследованных структур.

ченных спектров  $V_\phi(\hbar\omega)$ , можно найти толщину квантовых ям  $L_w$  в выращенных структурах. Теоретический расчет таких функциональных зависимостей для квантовых ям  $\text{Al}_x\text{Ga}_{1-x}\text{As}-\text{GaAs}-\text{Al}_x\text{Ga}_{1-x}\text{As}$  различной толщины выполнен в [3, 4]. Используя данные расчеты, получаем  $L_w \sim 100$  Å. Найти  $L_w$  можно также, используя, например, экспериментальные спектры пропускания  $I(\hbar\omega)$ , но для получения  $I(\hbar\omega)$  необходимо вытравливание окна в  $n^+$ -GaAs-подложке.

Как видно из рис. 2, спектральная чувствительность структур существенно уменьшается при  $\hbar\omega > 1.8$  эВ, что можно объяснить началом поглощения в слое  $p^+ \text{-Al}_{0.3} \text{Ga}_{0.7} \text{As}$  и уменьшением количества неравновесных носителей, разделяемых в полевой области структуры. В то же время уменьшение температуры приводит не только к смещению области спектральной чувствительности в коротковолновую сторону, но и к увеличению фотоотклика. Так, например, удельная вольтовая чувствительность в области экситонного поглощения при  $T=80$  К достигала  $10^6$  В/Вт.

Вид спектров, приведенных на рис. 2, а и б (кривая 1), типичен для большинства исследованных структур. Однако в спектрах  $V_\phi(\hbar\omega)$  некоторых образцов в области экситонных резонансов  $H_1-C_1$  и  $L_1-C_1$  были обнаружены провалы. Наиболее ярко выраженный спектр такого типа с провалами в области экситонных резонансов приведен на рис. 2, б (кривая 2). Аналогичные особенности в экситонных спектрах фотоотклика наблюдались ранее при исследовании поверхностью-барьерных структур. Несколько возможных механизмов формирования экситонных спектров  $V_\phi(\hbar\omega)$ , приводящих к образованию пиков или провалов в области экситонных резонансов таких структур,

рассмотрено в [5-9]. Как видно из данных работ, при малом уровне фотогенерации выражение для фотоэдс в области экситонного резонанса электронного полупроводника можно представить в виде

$$V_{\phi} \sim j_{\phi} = q \left[ \int_0^w G(x) dx + D_p \frac{d\Delta p(x)}{dx} \Big|_{x=w} \right]. \quad (1)$$

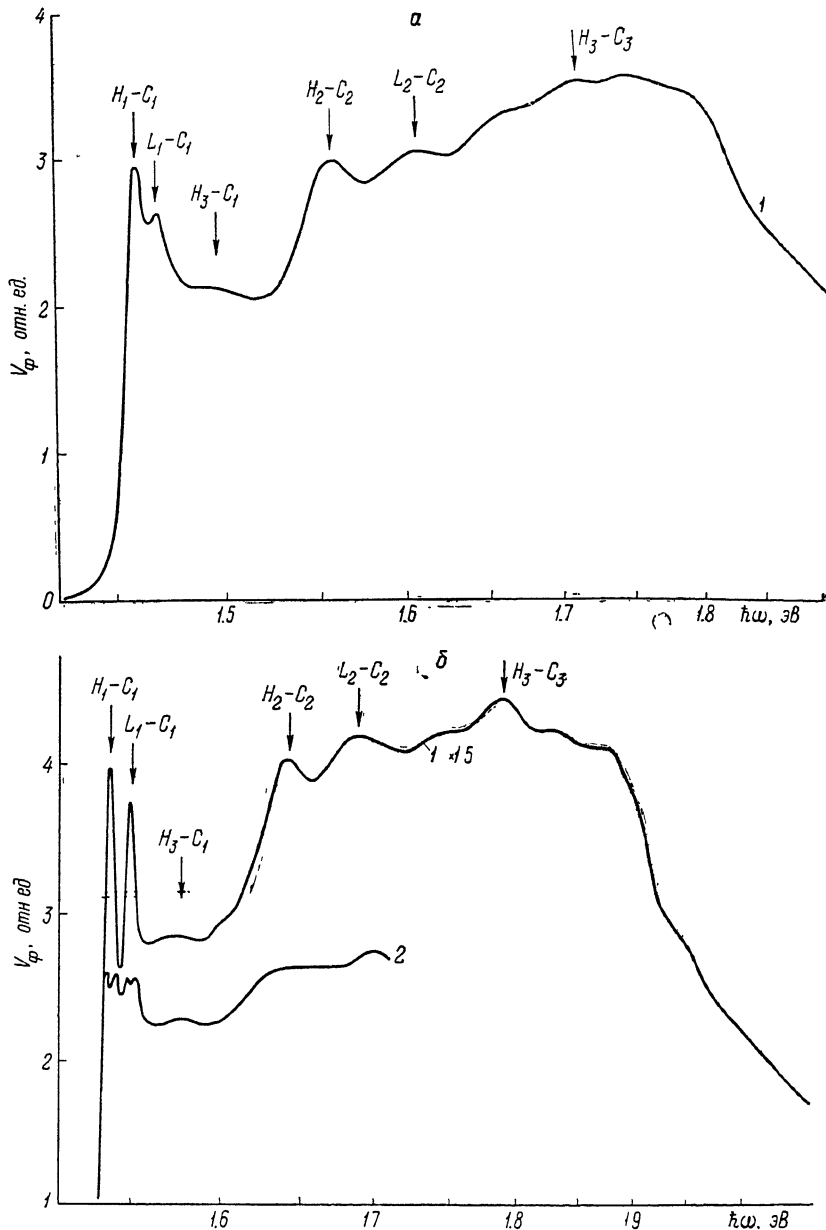


Рис. 2. Спектры фотоотклика MQW  $p^+ - i - n^+$ -структур.

$T, K: a - \approx 300, b - \approx 50$ . 2 получена при исследовании структуры с меньшей напряженностью внутреннего электрического поля, чем 1.

Ось  $x$  перпендикулярна границам раздела, направление оси совпадает с направлением волнового вектора возбуждающего света, а начало — с поверхностью поглощающего фотоактивного материала,  $j_{\phi}$  — плотность фототока,  $G(x) = c(x)/\tau_g$  — скорость генерации фотоносителей,  $c(x)$  — распределение кон-

центрации экситонов,  $\tau_g$  — время жизни экситонов относительно процессов диссоциации на свободные электроны и дырки,  $w$  — толщина полевой области (области пространственного заряда),  $D_p$  — коэффициент диффузии неравновесных дырок,  $\Delta p$  ( $x$ ) — распределение их концентрации.

Второе слагаемое в выражении (1) представляет собой диффузионную составляющую фототока, созданную неосновными носителями заряда, образовавшимися в квазинейтральной области и диффундировавшими в полевую область полупроводника.

Если использовать выражение (1) для анализа экситонного фотоотклика в исследуемой MQW-структуре, то вторым слагаемым можно пренебречь, так как контактное поле захватывает все внутренние квантово-размерные слои GaAs, в которых происходит образование неравновесных photoносителей. В пользу последнего утверждения свидетельствует линейность вольт-фарадных характеристик изготовленных структур.

В MQW-структурах с квазидвумерными состояниями упрощается (по сравнению с поверхностно-барьерными структурами [5, 8]) и нахождение первого слагаемого в выражении (1), так как практически отсутствует диффузия экситонов с импульсом, перпендикулярным слоям. Поэтому  $c(x) = -I_0(1-R)$  и окончательное выражение для фотоотклика исследуемых структур в области экситонного резонанса можно записать в виде

$$V_\phi \sim j_\phi = qI_0(1-R)\eta(\tau/\tau_g)(1 - e^{-\pi\alpha L}w), \quad (2)$$

где  $I_0$  — интенсивность возбуждающего света,  $R$  — коэффициент отражения от поверхности структуры,  $\alpha$  — коэффициент поглощения,  $\eta$  — коэффициент, учитывающий эффективность разделения неравновесных носителей в электрическом поле MQW  $p^+ - i - n^+$ -гетероструктуры,  $\tau = \tau_a \tau_g / (\tau_a + \tau_g)$  — полное время жизни экситонов,  $\tau_a$  — время жизни экситонов относительно процессов аннигиляции (процессов излучения и безызлучательной нефотоактивной гибели),  $n$  — количество слоев GaAs (квантовых ям).

Выражение (2) получено в предположении отсутствия отражения света на внутренних границах раздела структуры, что допустимо для границы GaAs-Al<sub>0.3</sub>Ga<sub>0.7</sub>As (см., например, [4]).

Таким образом, наблюдаемые в спектрах фотоотклика исследуемых структур провалы в области экситонных резонансов нельзя объяснить наличием квазинейтральной области аналогично [7], а также возможным сильным ростом длины диффузионного смещения реальных экситонов (поляритонов) при резонанском возбуждении — эффектом поляритонной прозрачности [6].

Анализ выражения (2) показывает, что в том случае, когда размер островков роста на гетерограницах меньше боровского диаметра экситона в квантовых ямах структуры, наиболее вероятной причиной появления провалов в спектрах  $V_\phi(\hbar\omega)$  при изменении  $\hbar\omega$  в узкой области экситонных резонансов может быть резко немонотонный характер зависимости  $\tau/\tau_g(\hbar\omega)$  в данной области. Причем существенное влияние на соотношение между  $\tau_g$  и  $\tau$  может оказывать величина напряженности электрического поля в квантово-размерных слоях GaAs. Действительно, уменьшение электрического поля приводит к росту  $\tau_g$  квазидвумерных экситонов, и полное время жизни в данной ситуации все в большей степени будет определяться временем жизни экситонов по отношению к процессам аннигиляции (при  $\tau_g \gg \tau_a$ ,  $\tau = \tau_a$  и  $\tau/\tau_g = \tau_a/\tau_g$ ). Поэтому в образцах с меньшей величиной внутреннего электрического поля большую роль в формировании спектров играют процессы нефотоактивной (излучательной) гибели экситонов. Интенсивность данных процессов резко возрастает в области экситонных резонансов [10], что и приводит к появлению провалов в спектрах фотоотклика  $V_\phi(\hbar\omega)$ .

В образцах с большей величиной электрического поля могут преобладать процессы диссоциации экситонов, стимулируемые электрическим полем, и немонотонность зависимости  $\tau/\tau_g(\hbar\omega)$  в области экситонных резонансов значительно меньше (при  $\tau_g \ll \tau_a$ ,  $\tau = \tau_g$  и  $\tau/\tau_g \approx 1$ ). В данной ситуации спектр  $V_\phi(\hbar\omega)$

будет качественно повторять спектр  $\alpha(\hbar\omega)$ , т. е. экситонным пикам в спектрах  $\alpha(\hbar\omega)$  будут соответствовать пики в спектрах  $V_\phi(\hbar\omega)$ .

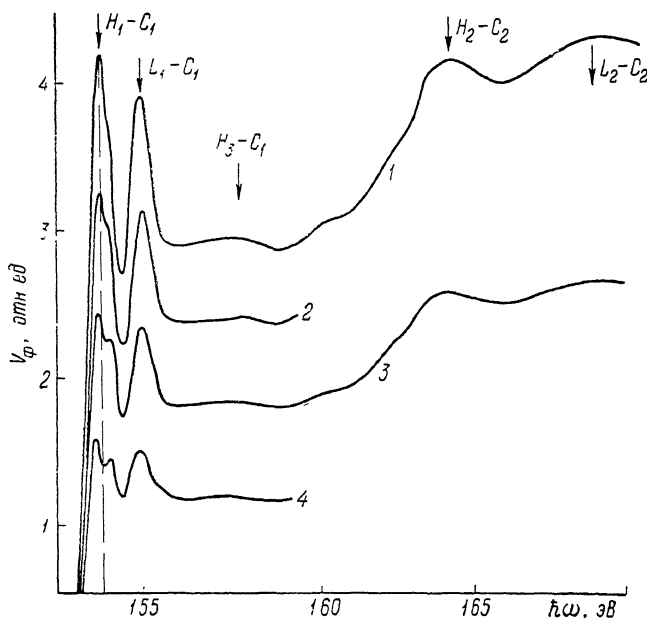


Рис. 3. Спектры фотоотклика MQW  $p^+-i-n^+$ -структур.

$T \approx 80$  К; постоянное выпрямляющее напряжение смещения  $U_{cm}$ , В: 1 — 0, 2 — +0.2, 3 — +0.4, 4 — +0.6.

В пользу предлагаемой модели влияния электрического поля на спектры  $V_\phi(\hbar\omega)$  свидетельствует и обращение экситонных пиков (изменение вида спектра) при приложении к образцам напряжения смещения  $U_{cm}$  (рис. 3).

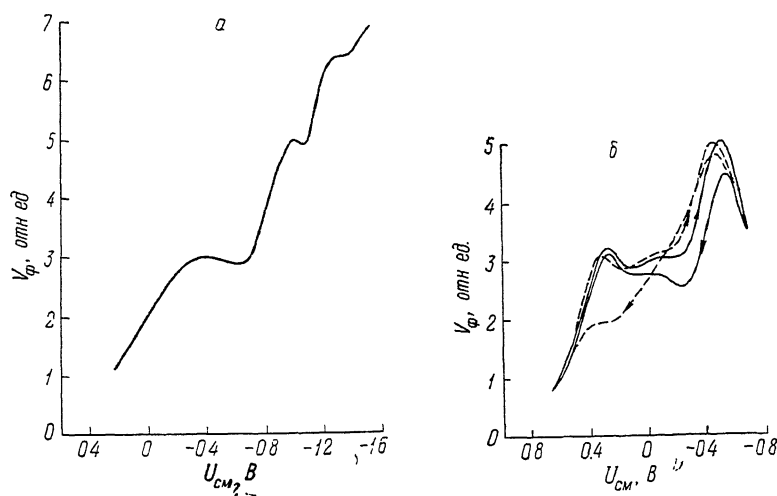


Рис. 4. Зависимость фотоотклика MQW  $p^+-i-n^+$ -структур при  $T \approx 80$  К и  $\hbar\omega = \hbar\omega_{H_1-C_1}$ .

а) квазистатическая; б) динамическая при скорости развертки  $V_p = U_{cm}/t$ , В/с. сплошные кривые — 0.01, штриховые — 0.1.

В том случае, когда размер островков роста на гетерограницах больше боровского диаметра экситона в квантовых ямах структуры, возможен и другой механизм формирования спектров  $V_\phi(\hbar\omega)$ . В данной ситуации экситон будет чувствовать флуктуацию ширины квантовых ям, и вместо одного в спек-

трах могут наблюдаться несколько близко расположенных пиков, соответствующих некоторым возможным ширинам ям в области генерации экситонов [11]. В таком случае спектр  $V_\phi(\hbar\omega)$  на рис. 2, б (кривая 2) можно интерпретировать как комбинацию спектров от MQW-структур с шириной квантовых ям соответственно  $L_u$  и  $L \mp a$ , где  $a$  — толщина одного монослоя. Расстояние между экситонными пиками  $H_1-C_1$  подструктур исследуемой структуры близко к величине наблюдаемого расщепления. Увеличение электрического поля (рис. 3) приводит к росту и совмещению (эффект сближения) экситонных пиков в спектрах  $V_\phi(\hbar\omega)$  от подструктур.

Переход от одного вида спектра к другому наблюдался и при сканировании некоторых образцов узким пучком вдоль поверхности, что связано с планарной неоднородностью внутреннего поля в данных образцах. Следовательно, спектральные измерения фотоотклика MQW  $p^+ - i - n^+$ -структур можно использовать и для оценки планарной гетерогенности изготавливаемых структур.

На рис. 4 приведены зависимости  $V_\phi(U_{cm})$ , полученные при  $T \sim 80$  К и  $\hbar\omega = \hbar\omega_{H,-C}$  на двух MQW  $p^+ - i - n^+$ -структурах. Зависимость  $V_\phi(U_{cm})$  на рис. 4, а получена на образце, спектры фотоотклика которого содержали про-

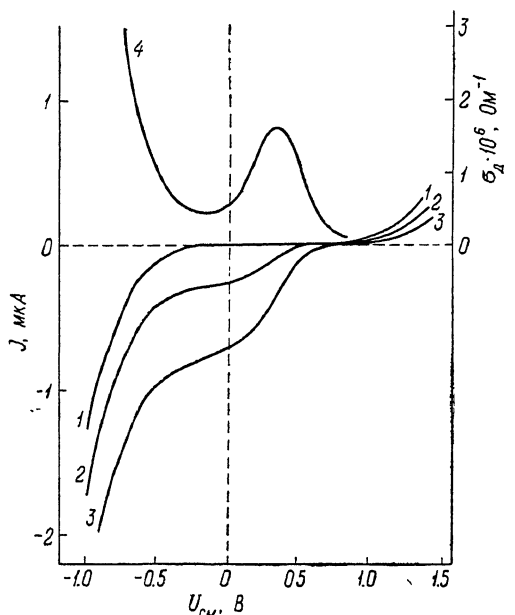


Рис. 5. Вольт-амперные характеристики MQW  $p^+ - i - n^+$ -структуры.

$T \approx 300$  К; интенсивность освещения  $I$ , Вт/см<sup>2</sup>: 1 — 0, 2 — 0.5 · 10<sup>-4</sup>, 3 — 2 · 10<sup>-4</sup>; 4 — зависимость  $\frac{dI}{dU_{cm}}$  от  $U_{cm}$ , полученная при  $T \approx 300$  К и  $I \approx 2 \cdot 10^{-4}$  Вт/см<sup>2</sup>.

валы в области экситонных резонансов  $H_1-C_1$  и  $L_1-C_1$  (рис. 2, б, кривая 2), а зависимость  $V_\phi(U_{cm})$  на рис. 4, б — на образце с экситонными пиками в спектрах  $V_\phi(\hbar\omega)$  (рис. 2, кривые 1). Темновые ВАХ обоих образцов имели обычный для неквантовых  $p-i-n$ -структур вид. Однако освещение образцов приводило, как видно из рис. 4, к формированию изломов и даже участков с отрицательной дифференциальной проводимостью. Обнаруженные особенности можно объяснить проявлением резонансно-тунNELьной фотоинжекции, т. е. наличием локальных областей тунNELьной прозрачности (тунNELьного резонанса) для неравновесных носителей с импульсом, перпендикулярным слоям [12]. Обнаружена также бистабильность динамических ВАХ, появляющаяся при освещении структур и особенно сильная в области резонансного тунNELирования. Увеличение скорости развертки ( $U_{cm}/t$ ) при записи кривых  $V_\phi(U_{cm})$  приводило к уменьшению вклада тунNELирующих неравновесных носителей (рис. 4, б). Наблюданная бистабильность световых характеристик может быть связана, так же как ситуация с темновыми ВАХ квантово-размерных структур, исследованных в [13, 14], с тем, что неравновесные носители не успевают разноситься в электрическом поле и накапливаются в квантовых потенциальных ямах  $i$ -слоя.

Эффект резонансно-тунNELьной фотоинжекции обнаружен и при комнатной температуре. На рис. 5 приведены результаты исследования влияния освещения на ВАХ образца с экситонными пиками в спектрах  $V_\phi(\hbar\omega)$  при  $T=300$  К и  $|Z| \gg R_u$  ( $Z$  — комплексное сопротивление образца). Как видно из рисунка, темновая ВАХ (кривая 1) носит типичный выпрямляющий характер. В то же время при освещении образца отчетливо проявляются особенности (локальные

области с большей дифференциальной проводимостью), характерные для резонансно-туннельной фотоинъекции.

#### Список литературы

- [1] Уэбер С. // Электроника. 1988. № 20. С. 83—89.
- [2] IEEE J. Quant. Electron. 1986. V. QE-22. N 9.
- [3] Rogers D. C., Nicholas R. J. // J. Phys. C: Sol. St. Phys. 1985. V. 18. N 27. P. L891—L896.
- [4] Masselink W. T., Pearah P. J., Klem J., Peng C. K., Morkoc H., Sanders C. P., Chang Y. C. // Phys. Rev. B. 1985. V. 32. N 12. P. 8027—8034.
- [5] Царенков Г. В. // ФТП. 1973. Т. 7. В. 8. С. 1518—1524.
- [6] Альперович В. Л., Кравченко А. Ф., Паханов Н. А., Терехов А. С. // ФТТ. 1981. Т. 23. В. 10. С. 3038—3042.
- [7] Поляков В. И., Перов П. И., Петров В. А., Авдеева Л. А. // ФТП. 1982. Т. 16. В. 7. С. 1200—1204.
- [8] Поляков В. И., Ермаков М. Г., Перов П. И., Хомич А. В. // ФТТ. 1985. Т. 27. В. 10. С. 2971—2979.
- [9] Киселев В. А., Новиков Б. В., Чередниченко А. Е. // Экситонная спектроскопия приповерхностной области полупроводников. Л., 1987. С. 160.
- [10] Weisbuch C. // Sol. St. Electron. 1978. V. 21. N 1. P. 179—183.
- [11] Херман М. Полупроводниковые сверхрешетки. М., 1989. 240 с.
- [12] Capasso F., Mohammed R., Cho Y. A. // IEEE J. Quant. Electron. 1986. V. QE-22. N 9. P. 1853—1868.
- [13] Sheard F. W. // Appl. Phys. Lett. 1988. V. 52. P. 1228. 1988. V. 52. P. 1398.
- [14] Berthold K., Levi A. F. J., Walker J., Malik R. J. // Appl. Phys. Lett. 1989. V. 54. N 9. P. 813—815.

Институт радиотехники и электроники  
АН СССР  
Фрязинская часть

Получена 14.11.1989  
Принята к печати 11.07.1990